

Calcul Quantique et Algorithmes

- Introduction au calcul quantique du point de vue théorique!
- Comparaison avec le calcul classique
- Bonus : notation graphique pour les tenseurs

Partie 2 : factorisation des entiers,
transformée de Fourier quantique, ...

I) Calcul classique

• Bit : 0 ou 1



"circuit électrique"

• n bits $\leftrightarrow \{0,1\}^n \leftrightarrow$ nombres entiers entre 0 et $2^n - 1$



2 bits :

0	0
0	1
1	0
1	1



• Porte logique : $f : \{0,1\}^n \rightarrow \{0,1\}^m$

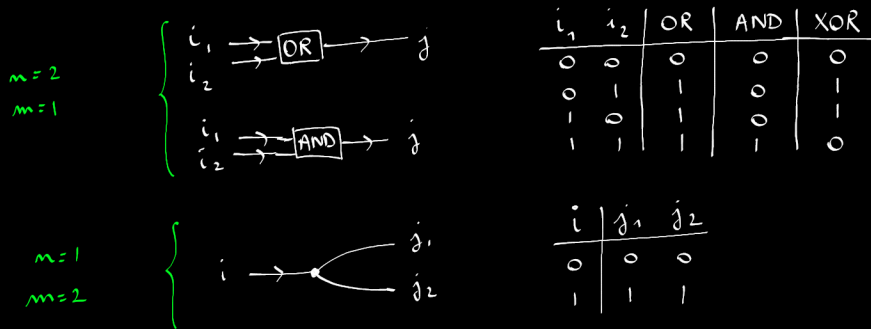
n bits $\left\{ \begin{array}{c} \text{---} \rightarrow \\ \text{---} \rightarrow \\ \text{---} \rightarrow \end{array} \right\} \boxed{f} \left\{ \begin{array}{c} \text{---} \rightarrow \\ \text{---} \rightarrow \\ \text{---} \rightarrow \end{array} \right\} m \text{ bits}$

Exemple :

$n = m = 1$ $\left\{ \begin{array}{l} i \rightarrow \boxed{\text{Not}} \rightarrow j \\ i \rightarrow \text{---} \rightarrow j \end{array} \right.$

i	j
0	1
1	0

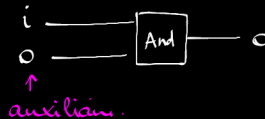
i	j
0	0
1	1



Théorème

Toute fonction $\{0,1\}^m \rightarrow \{0,1\}^m$ peut être construite avec des portes \neg , AND, XOR et NOT ainsi que des bits auxiliaires préparés dans des états spécifiques

Exemple : $f: \{0,1\} \rightarrow \{0,1\}$
 $x \mapsto 0$



II) Calcul Quantique

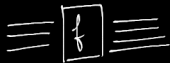
Bit $\in \{0,1\}$



n -bits $\in \{0,1\}^n$



Porte



$\{0,1\}^m \rightarrow \{0,1\}^m$

Qubit : $|\psi\rangle = a|0\rangle + b|1\rangle$ avec $|a|^2 + |b|^2 = 1$



$|\psi\rangle \in \mathcal{H} = \text{Vect}_{\mathbb{C}}(|0\rangle, |1\rangle)$

n -qubits : élément de $\underbrace{\mathcal{H} \otimes \dots \otimes \mathcal{H}}_{n \text{ facteurs}} = \text{Vect}_{\mathbb{C}} \begin{pmatrix} 100\dots0 \\ 100\dots1 \\ \vdots \\ 111\dots1 \end{pmatrix}$



Porte quantique : ${}_m \{ \equiv \equiv \boxed{U} \equiv \equiv \}_n$

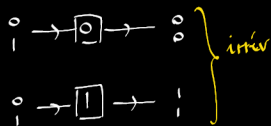
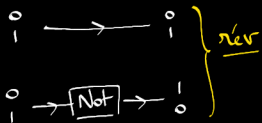
avec $U: \mathcal{H}^{\otimes m} \rightarrow \mathcal{H}^{\otimes m}$

opérateur unitaire $UU^\dagger = U^\dagger U = \mathbb{1}$

linéaire

Réversible

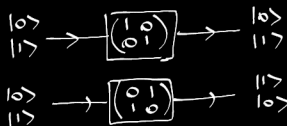
Portes $n=m=1$.



Portes $n=1$ $\mathcal{H} \xrightarrow{U} \mathcal{H}$

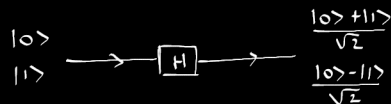
$$U = \begin{pmatrix} \alpha & \beta \\ \gamma & \delta \end{pmatrix}$$

4 paramètres réels.



Impossible d'effectuer
des opérations non
réversibles !

Porte de Hadamard
 $H = \frac{1}{\sqrt{2}} \begin{pmatrix} 1 & 1 \\ 1 & -1 \end{pmatrix}$



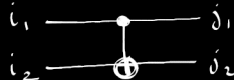
Portes à $n=2$



i_1, i_2	j_2
0 0	0
0 1	1
1 0	1
1 1	0

Porte **CNOT**

"Control - NOT"



i_1, i_2	j_1, j_2
0 0	0 0
0 1	0 1
1 0	1 1
1 1	1 0

Matrice dans $\{|00\rangle, |01\rangle, |10\rangle, |11\rangle\}$:

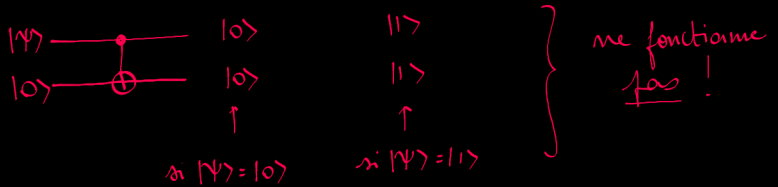
$$\begin{pmatrix} 1 & 0 & 0 & 0 \\ 0 & 1 & 0 & 0 \\ 0 & 0 & 1 & 0 \\ 0 & 0 & 0 & 1 \end{pmatrix}$$



i	j ₁	j ₂
0	0	0
1	1	1

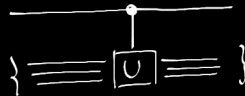
"Pas de clonage
en mécanique
quantique"

Si Condition,
faire f.



Si $|\psi\rangle = \frac{|0\rangle + |1\rangle}{\sqrt{2}}$ alors l'état final est : $\frac{|00\rangle + |11\rangle}{\sqrt{2}}$

$$|\psi\rangle |\psi\rangle = \frac{1}{2} (|00\rangle + |01\rangle + |10\rangle + |11\rangle) \neq$$



Control - U

III) Notation tensorielle

Idee: faire de l'algèbre linéaire avec des dessins.

- Application linéaire : $M : \mathbb{R}^n \longrightarrow \mathbb{R}^m$
 $\uparrow \qquad \qquad \qquad \uparrow$
 base (e_1, \dots, e_n) base (f_1, \dots, f_m)

$$u \in \mathbb{R}^n, \quad M(u) = M(u^i e_i) = M(e_i) u^i = f_j M^j_i u^i$$

coefficient de $M(e_i)$ sur f_j

$$i \rightarrow \boxed{M} \rightarrow j$$

Produit de matrices = composition d'applications linéaires

$$(MN)^k_i = M^k_j N^j_i \quad i \rightarrow \boxed{N} \xrightarrow{j} \boxed{M} \rightarrow k$$

• Vecteurs : $v \in \mathbb{R}^n$ $v = v^i e_i$ $\boxed{v} \rightarrow i$

Covecteurs = forme linéaire = $\mathbb{R}^n \rightarrow \mathbb{R}$ $i \rightarrow \boxed{\lambda}$

$$\lambda = \lambda_i (e^*)^i$$

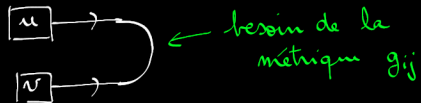
$$\lambda(v) = \boxed{v} \rightarrow \boxed{\lambda}$$

• Tenseurs : $T : \mathbb{R}^n \times \mathbb{R}^n \rightarrow \mathbb{R}^n$ $\begin{matrix} i \\ j \end{matrix} \rightarrow \boxed{T} \rightarrow k$

$$T^k_{ij}$$

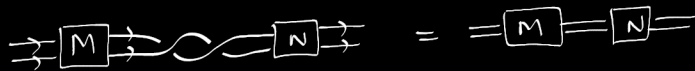
Exemple : métrique g_{ij} $\begin{matrix} i \\ j \end{matrix} \rightarrow \boxed{g} \equiv \begin{matrix} i \\ j \end{matrix} \rightarrow \text{loop}$

Produit scalaire de deux vecteurs



\neq trace d'une application linéaire : $\text{loop} \rightarrow \boxed{M} \rightarrow M^i_i$

Remarques. Les fils ne peuvent pas se tresser :



Exemple. Géométrie riemannienne, tenseur R^d etc.



Tenseur de Ricci :



Scalaire de Ricci :



IV) Calcul sur 1 qubit

$$U = \begin{pmatrix} & \\ & \end{pmatrix} \text{ unitaire.}$$

Exemples : $X = \begin{pmatrix} 0 & 1 \\ 1 & 0 \end{pmatrix}$ analogue quantique de NOT

$$Y = \begin{pmatrix} 0 & -i \\ i & 0 \end{pmatrix}$$

$$Z = \begin{pmatrix} 1 & 0 \\ 0 & -1 \end{pmatrix}$$

$$\begin{aligned} |0\rangle &\rightarrow |0\rangle \\ |1\rangle &\rightarrow -|1\rangle \end{aligned}$$

$$H = \frac{1}{\sqrt{2}} \begin{pmatrix} 1 & 1 \\ 1 & -1 \end{pmatrix}$$

création d'états "superposés" $\frac{|0\rangle \pm |1\rangle}{\sqrt{2}}$

$$R_k = \begin{pmatrix} 1 & 0 \\ 0 & e^{2\pi i/2^k} \end{pmatrix}$$

$$R_3 = T = \begin{pmatrix} 1 & 0 \\ 0 & e^{i\pi/4} \end{pmatrix} = \text{"} \frac{\pi}{8} \text{"}$$

L'ensemble des opérations unitaires forme le groupe de Lie $U(2)$ qui est infini, non dénombrable.

Théorème

Toute $U \in U(2)$ peut être approximée avec une précision arbitraire avec seulement H et R_3

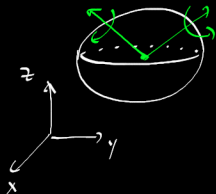
Preuve (idée)

- On mesure l'erreur avec $E(U, V) = \max_{\substack{|\Psi\rangle \\ \langle \Psi | \Psi \rangle = 1}} |(U-V)|\Psi\rangle|$.

Si $E(U, V)$ est petit, alors V approxime bien U .

- Géométriquement, R_3 = rotation d'angle $\pi/4$ autour de z

$$H R_3 H = \text{_____} \times$$



Combine les deux : rotation autour de $\vec{n} \left(\cos \frac{\pi}{8}, \sin \frac{\pi}{8}, \cos \frac{\pi}{8} \right)$
d'angle θ tel que $\cos(\theta/2) = \cos^2(\pi/8)$.

Lemme : $\frac{\theta}{\pi} \notin \mathbb{Q}$.

On peut donc construire une approximation de $\boxed{R_{\vec{m}}(\alpha)}$ pour tout α , arbitrairement bonne.

$$R_{\vec{m}}(\alpha) = H R_{\vec{n}}(\alpha) H \quad \text{avec} \quad \vec{m} = \left(\cos \frac{\pi}{8}, -\sin \frac{\pi}{8}, \cos \frac{\pi}{8} \right)$$

Lemme. On peut écrie toute $U \in U(2)$ sous la forme

$$U = e^{i\alpha} R_{\vec{m}}(\beta) R_{\vec{m}}(\gamma) R_{\vec{m}}(\delta) \quad \text{avec} \quad \alpha, \beta, \gamma, \delta \in \mathbb{R}.$$

⑤ Calcul Quantique universel

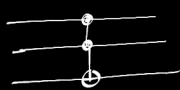
But || montrer qu'il suffit d'exhiber un opérateur unitaire pour dire qu'il existe un algorithme quantique réalisable avec quelques portes de base.

↳ Transformée de Fourier quantique \leadsto Algorithme de Shor pour la factorisation.

Théorème.

Toute $U: \mathcal{H}^{\otimes n} \rightarrow \mathcal{H}^{\otimes n}$ unitaire peut être exprimée de façon exacte à l'aide de CNOT et de portes à 1 qubit et de qubits auxiliaires.

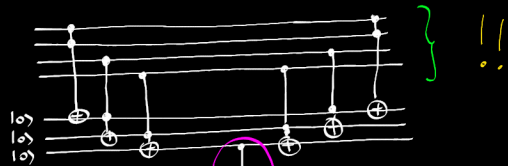
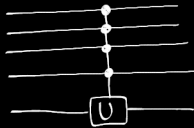
③ On peut construire à l'aide de CNOT et R_z une porte de "Toffoli".



(admis)

(pas besoin d'auxiliaires)

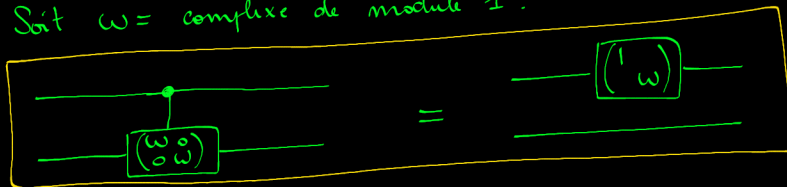
$\tilde{M} =$



← il suffit de faire ça

Remarque : Parfois, la mécanique quantique est contre-intuitive !

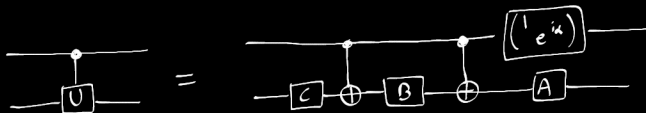
Soit $\omega = \text{complexe de module } 1$.



$$\begin{aligned}
 |0\rangle|0\rangle &\rightarrow |0\rangle|0\rangle &= |0\rangle|0\rangle \\
 |0\rangle|1\rangle &\rightarrow |0\rangle|1\rangle &= |0\rangle|1\rangle \\
 |1\rangle|0\rangle &\rightarrow |1\rangle\omega|0\rangle &= \omega|1\rangle|0\rangle \\
 |1\rangle|1\rangle &\rightarrow |1\rangle\omega|1\rangle &= \omega|1\rangle|1\rangle
 \end{aligned}$$

④ Lemme: Tout $U \in U(2)$ peut se décomposer en $U = e^{i\alpha} AXC$ avec $\alpha \in \mathbb{R}$, $A, B, C \in U(2)$, et $ABC = \text{id}$.

Alors on a:



$$|0\rangle |\psi\rangle \rightarrow |0\rangle |\psi\rangle$$

$$|1\rangle |\psi\rangle \rightarrow e^{i\alpha} |1\rangle AXC |\psi\rangle = |1\rangle U |\psi\rangle.$$

A suivre: QFT, Shor...

Comment exploiter un algo quantique

Comment faire des mesures?